

Compression d'images par ondelettes

Benjamin CATINAUD

Année 2017 - 2018

Introduction

- Plus de 2200 photos mises en ligne sur Facebook par seconde¹
- Débit moyen en France : 8.9 Mbps
- Taille d'une image : de l'ordre du mégaoctet

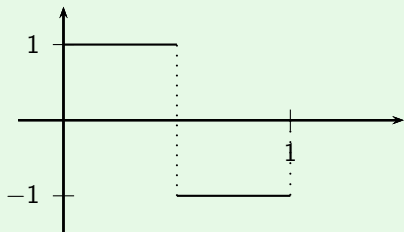
¹Source : www.planetoscope.com

- 1 Théorie des ondelettes
 - Une ondelette, c'est quoi ?
 - Analyse multi-résolution - Espaces d'approximation
 - Analyse multi-résolution - Espaces de détails
- 2 Algorithme de Mallat
 - Définitions
 - Algorithme de transformation WT
 - Algorithme de reconstruction WR
 - Et concrètement ?
- 3 Un algorithme efficace ?
 - Complexité
 - Taux de compression
 - Estimation de l'erreur
- 4 Bilan visuel
- 5 Conclusion

Définition : Ondelette

- Fonction ψ de carré intégrable sur \mathbb{R} ($\int_{\mathbb{R}} |\psi|^2 < +\infty$)
- Support de ψ compact
- $\int_{\mathbb{R}} \psi$ converge et vaut 0
- Création d'une famille d'ondelettes par dilatation et translation de l'ondelette mère ($\psi_{a,b}(t) = \psi(\frac{t-b}{a})$)

Exemples : Ondelette de Daubechies et de Haar



Analyse multi-résolution : Espaces d'approximation

Définition

Soit $j \in \mathbb{Z}$. **Espace d'approximation à l'échelle 2^j** : espace vectoriel V_j des fonctions de $L^2(\mathbb{R}, \mathbb{R})$ constantes sur les intervalles de la forme $[2^j k; 2^j(k+1)[$, $k \in \mathbb{Z}$

Propriétés fondamentales

- $\forall j \in \mathbb{Z}, V_{j+1} \subseteq V_j$
- $\bigcup_{j \in \mathbb{Z}} V_j$ est dense dans $L^2(\mathbb{R}, \mathbb{R})$

Caractérisation

$$\forall j \in \mathbb{Z}, V_j = \left\langle \left\{ \phi_{j,k} = \frac{1}{\sqrt{2^j}} \mathbb{1}_{[2^j k; 2^j(k+1)[}, k \in \mathbb{Z} \right\} \right\rangle$$

Analyse multi-résolution

Définition des espaces de détails

On définit W_j , pour $j \in \mathbb{Z}$, tel que

$$V_{j-1} = V_j \oplus^\perp W_j$$

Caractérisation des espaces de détails

$$\forall j \in \mathbb{Z}, W_j = \left\langle \left\{ \psi_{j,k} = \frac{1}{\sqrt{2^j}} (\mathbb{1}_{[2^{j-1}k; 2^{j-1}(k+1)[} - \mathbb{1}_{[2^{j-1}(k+1); 2^{j-1}(k+2)[}), k \in \mathbb{Z} \right\} \right\rangle$$

Propriété des fonctions génératrices

On remarque la relation de récurrence :

$$\begin{aligned} \phi_{j,k} &= \frac{1}{\sqrt{2}} (\phi_{j-1,2k} + \phi_{j-1,2k+1}) \\ \psi_{j,k} &= \frac{1}{\sqrt{2}} (\phi_{j-1,2k} - \phi_{j-1,2k+1}) \end{aligned}$$

Définition : Vecteurs associés à la transformation par ondelettes de Haar

$$\begin{aligned}\mathcal{H}_a &= \frac{1}{2}(1, 1) \in \mathbb{R}^2 \text{ pour les espaces } (V_j)_{j \in \mathbb{Z}} \\ \mathcal{H}_d &= \frac{1}{2}(1, -1) \in \mathbb{R}^2 \text{ pour les espaces } (W_j)_{j \in \mathbb{Z}}\end{aligned}$$

Définition : Fonction filtre

Pour $b, x \in \mathbb{R}^n$ et $a \in \mathbb{R}^*$, la fonction filtre $\Phi_{a,b}$ est telle que

$$\forall i \in [1; n], \left(\Phi_{a,b}(x) \right)_k = \frac{1}{a} \sum_{i=1}^k b_i x_{k-i}$$

On notera Φ la fonction filtre sur les espaces d'approximation et Ψ celle sur les espaces de détails

Définition : Fonction d'échantillonnage

$$\begin{aligned}\downarrow_2: \mathbb{R}^n &\longrightarrow \mathbb{R}^{\lfloor n/2 \rfloor} \\ (x_1, x_2, \dots, x_n) &\longmapsto (x_2, x_4, \dots, x_{2\lfloor n/2 \rfloor})\end{aligned}$$

Algorithme 1 Transformée par ondelettes d'une matrice

Entrée(s) une matrice $M \in M_{n,m}(\mathbb{R})$ et un entier $j_V \in \mathbb{N}$

Normaliser M

pour $k = 0$ à $j_V - 1$ **faire**

pour $i = 1$ à $n/2^k$ **faire**

 Affecter au vecteur $M_{i,[1;\frac{m}{2^{k+1}}]}$ le résultat de $(\downarrow_2 \circ \Phi)\left(M_{i,[1;\frac{m}{2^k}]}\right)$

 Affecter au vecteur $M_{i,[\frac{m}{2^{k+1}}+1;\frac{m}{2^k}]}$ le résultat de $(\downarrow_2 \circ \Psi)\left(M_{i,[1;\frac{m}{2^k}]}\right)$

fin du pour

pour $j = 1$ à $m/2^k$ **faire**

 Affecter au vecteur $M_{[1;\frac{n}{2^{k+1}}],j}$ le résultat de $(\downarrow_2 \circ \Phi)\left(M_{[1;\frac{n}{2^k}],j}\right)$

 Affecter au vecteur $M_{[\frac{n}{2^{k+1}}+1;\frac{n}{2^k}],j}$ le résultat de $(\downarrow_2 \circ \Psi)\left(M_{[1;\frac{n}{2^k}],j}\right)$

fin du pour

fin du pour

Sortie(s) La matrice M ainsi obtenue

Algorithme 2 Reconstruction d'une matrice

Entrée(s) une matrice $M \in M_{n,m}(\mathbb{R})$ et un entier $j_V \in \mathbb{N}$

pour $k = j_V - 1$ à 0 **faire**

pour $j = 1$ à $m/2^k$ **faire**

Affecter au vecteur $M_{[1; \frac{n}{2^k}], j}$ la somme de $(\Gamma \circ \uparrow_2) \left(M_{[1; \frac{n}{2^{k+1}}], j} \right)$

et de $(\Omega \circ \uparrow_2) \left(M_{[\frac{n}{2^{k+1}} + 1; \frac{n}{2^k}], j} \right)$

fin du pour

pour $i = 1$ à $n/2^k$ **faire**

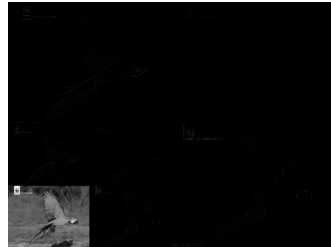
Affecter au vecteur $M_{i, [1; \frac{m}{2^k}]}$ la somme de $(\Gamma \circ \uparrow_2) \left(M_{i, [1; \frac{m}{2^{k+1}}]} \right)$ et

de $(\Omega \circ \uparrow_2) \left(M_{i, [\frac{m}{2^{k+1}} + 1; \frac{m}{2^k}]} \right)$

fin du pour

fin du pour

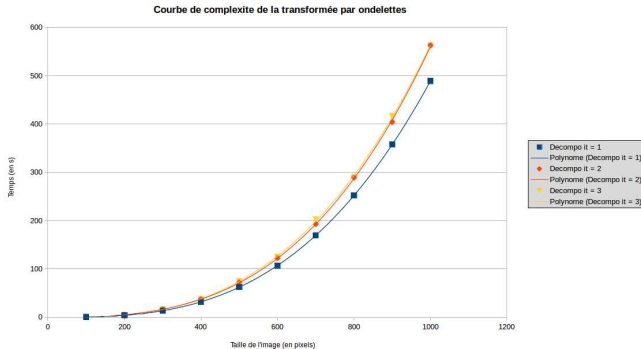
Sortie(s) La matrice M ainsi obtenue

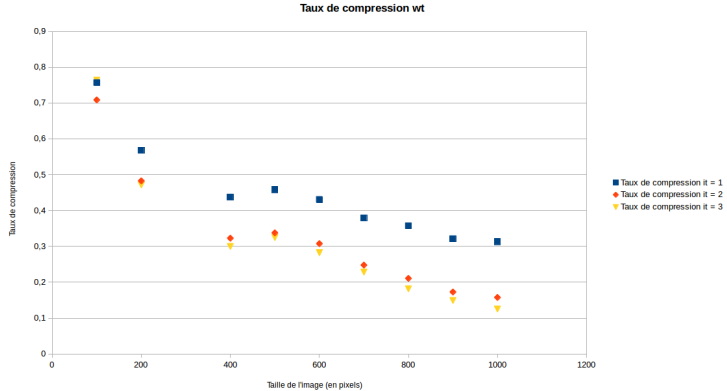


Complexité de la fonction *WT*

Pour une image de taille nm pixels, on a une complexité de :

$$O(nm + nm^2 + mn^2) = O((\max(n, m))^3)$$





Distance de compression

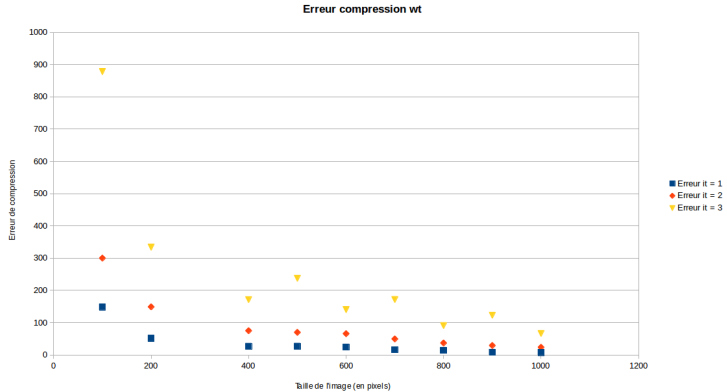
On peut définir une distance de la manière suivante :

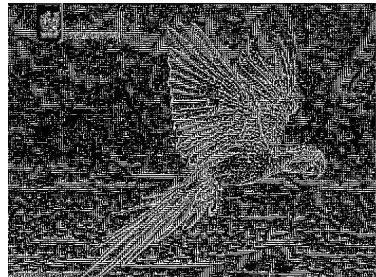
$$\begin{aligned} d : M_{n,m}(\mathbb{R}) \times M_{n,m}(\mathbb{R}) &\longrightarrow \mathbb{R}^+ \\ (M, N) &\longmapsto \frac{\|M - N\|}{nm} \end{aligned}$$

Définition : Fonction erreur

On définit la fonction erreur pour $j_V \in \mathbb{N}$ comme suit avec γ_{j_V} la fonction de compression et ρ_{j_V} la fonction de décompression :

$$\begin{aligned} \mathcal{E}_{j_V} : M_{n,m}(\mathbb{R}) &\longrightarrow \mathbb{R} \\ M &\longmapsto d \left(M, \left(\rho_{j_V} \circ \gamma_{j_V} \right) (M) \right) \end{aligned}$$










Conclusion

Merci pour votre attention !

Bibliographie

-  René Alt, *La transformation en ondelettes*, Professeur à l'université Pierre et Marie Curie.
-  Philippe Carré and Rémi Cornillet, *Code matlab*, professeur de l'université de Poitiers et responsable de l'équipe Icones, étudiant à l'ENS de Rennes.
-  Phillip K.Poon, *Wavelets*, Ph.D. thesis, College of Optical Sciences, University of Arizona, 2012.
-  Olivier Rioul, *Ondelettes régulières: application à la compression d'images fixes*, Ph.D. thesis, Télécom ParisTech, 1993.
-  Pascal Szacherski, *Compression, ondelettes et algorithmes afférents*.

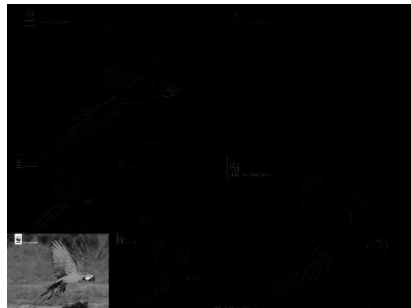
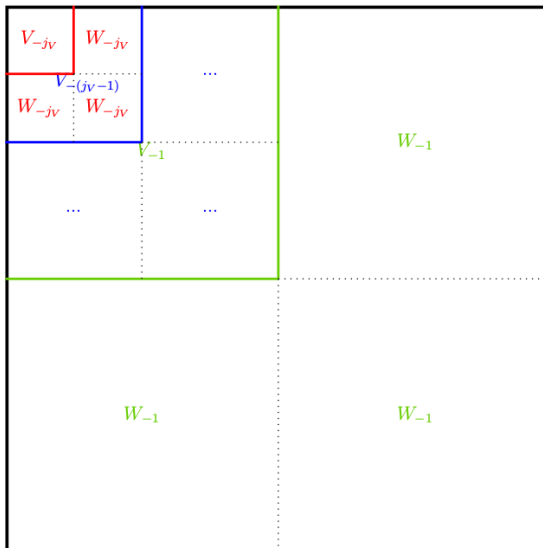


Figure: Exemple de la différence entre le choix du scalaire $\frac{1}{\sqrt{2}}$ (à gauche) et du scalaire $\frac{1}{2}$ (à droite)



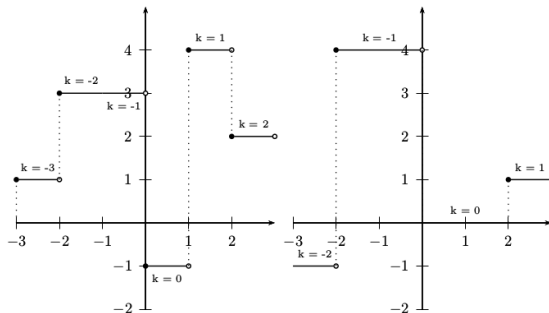


Figure: Exemple graphique d'une fonction de V_0 (à gauche) et de V_1 (à droite)

Démonstration de la densité I

Soit $\varepsilon > 0$. Soit $f \in L^2(\mathbb{R}, \mathbb{R})$ telle que f est continue par morceaux un nombre fini de fois et de support compact et admettant une limite (nulle). f est continue par morceaux sur des intervalles que l'on va noter $(D_n)_{n \in I}$ avec $I \subset \mathbb{N}$, I fini.

On va donc limiter l'étude à un intervalle D_n pour $n \in I$.

On pose $D_n =]\alpha; \beta[$.

Cas 1 : $\alpha \neq -\infty$ et $\beta \neq +\infty$

Ainsi la fonction f est prolongeable par continuité sur $\overline{D_n} = [\alpha; \beta]$.

Par conséquent, f est continue sur un segment donc, par théorème de Heine, elle y est uniformément continue.

Par définition de continuité uniforme, on a :

$$\exists \delta_n > 0, \forall x, y \in D_n, |x - y| \leq \delta_n \Rightarrow |f(x) - f(y)| \leq \varepsilon$$

Démonstration de la densité II

Or, d'autre part, $\lim_{j \rightarrow -\infty} 2^j = 0$ et $\lim_{j \rightarrow +\infty} 2^j = +\infty$ donc

$$\exists j_n \in \mathbb{Z}, 2^{j_n} \leq \delta_n < 2^{j_n+1}$$

Ainsi $\forall x, y \in D_n, |x - y| \leq 2^{j_n} \Rightarrow |f(x) - f(y)| \leq \varepsilon$.

Cas 2 : $\alpha \neq -\infty$ ou $\beta \neq +\infty$

Dans ce cas, on procède de même en se ramenant à un segment en utilisant la définition de la limite appliquée à ε en $\pm\infty$.

Dans tous les cas, on pose alors une fonction $\psi_n \in V_{j_n}$ telle que pour tout intervalle de la forme $[2^{j_n}k; 2^{j_n}(k+1)[$ où $k \in \mathbb{Z}$, il existe un $x_{n,k} \in J_n$ tel que $\forall y \in [2^{j_n}k; 2^{j_n}(k+1)[$, $\psi_n(y) = f(x_{n,k})$ (ce $x_{n,k}$ existe sous condition que $[2^{j_n}k; 2^{j_n}(k+1)[\subset D_n$, si ce n'est pas le cas, on pose alors $\psi_n|_{[2^{j_n}k; 2^{j_n}(k+1)[} = 0$).

On obtient donc un ensemble d'indices $J_n = \{j_n, n \in I\}$ et un ensemble de fonctions $\{\psi_n, n \in I\} \subset \bigcup_{j \in \mathbb{Z}} V_j$.

Démonstration de la densité III

Par propriété d'inclusion (i), en posant $j_\varepsilon = \min J_n$ (existe car I est fini), et en définissant $P_{V_{j_\varepsilon}}$ à l'aide des ψ_n pour $n \in I$, on obtient que :

$$\bigcup_{j \in \mathbb{Z}} V_j \text{ est dense dans } L^2(\mathbb{R}, \mathbb{R}) \quad \blacksquare$$

Démonstration de la complexité

Soit $j_v \in \mathbb{N}$. Soit $M \in M_{n,m}(\mathbb{R})$.

La complexité de la normalisation est de l'ordre de $O(nm)$.

Soit $k \in [0; j_v - 1]$. Soit $i \in [1; n/2^k]$

Comme la complexité de l'affectation est linéaire en la taille du vecteur, l'affectation a une complexité de $\frac{m}{2^{k+1}}$.

De plus, la fonction $\downarrow_2 \circ \Phi$ s'effectue en un temps quadratique en la taille du vecteur (due à la fonction filtre).

Ainsi, le calcul du résultat de cette fonction appliqué au vecteur $M_{i,[1;\frac{m}{2^k}]}$ a une complexité de $C(\frac{m}{2^k})^2$ avec $C > 0$.

Ainsi, la première boucle s'effectue en $O\left(\frac{nm^2}{2^{3k-1}}\right)$.

On démontre de même que la deuxième boucle s'effectue en $O\left(\frac{mn^2}{2^{3k-1}}\right)$.

Ainsi la complexité de cet algorithme est bien de

$$O\left(nm + nm^2 + mn^2\right) \blacksquare$$

Démonstration de $(WR) \circ (WT) = id$

Soit $(x, y) \in \mathbb{R}^2$. Par définition des algorithmes, il s'agit en fait de démontrer que :

$$\begin{aligned}\Phi_{1, \mathcal{R}_a} \left(\Phi_{1, \mathcal{H}_a}(x, y), \Phi_{1, \mathcal{H}_d}(x, y) \right) &= x \\ \Phi_{1, \mathcal{R}_d} \left(\Phi_{1, \mathcal{H}_a}(x, y), \Phi_{1, \mathcal{H}_d}(x, y) \right) &= y\end{aligned}$$

C'est à dire, par définition des fonctions filtres, qu'il s'agit de montrer que :

$$\begin{aligned}\frac{x+y}{2} + \frac{x-y}{2} &= x \\ \frac{x+y}{2} - \frac{x-y}{2} &= y\end{aligned}$$

Ce qui est clairement le cas ■